

电力学习题课 (四)

Nov. 29, 2012

1 部分作业习题解答:

习题6.2 厚度为 d 的平板型导体(电导率为 σ_c)置于 xy 平面, 假设沿 x 方向流有圆频率为 ω 的交流电流(沿 y 方向均匀). 设导线边界上($z = 0, d$)的电流密度为 $j_0 e^{-i\omega t} \hat{e}_x$. 在准静态近似下, 求解导体内部电流密度 \vec{j} , 电场 \vec{E} , 以及磁场 \vec{H} 的分布.

解:

根据准静态近似下扩散方程:

$$\left(\nabla^2 - \mu_0 \sigma_c \frac{\partial}{\partial t} \right) \vec{E} = 0 \quad (1)$$

考虑到单频, 电流沿 x 方向, 沿 y 方向均匀, 扩散方程Eq. (1)变成:

$$(\partial_z^2 + i\mu_0 \sigma_c \omega) E_x(z) = 0 \quad (2)$$

解得电场 \vec{E} 的分布:

$$\vec{E} = \hat{e}_x (E_0 e^{-\alpha(1-i)z} + E'_0 e^{\alpha(1-i)z}) e^{-i\omega t} \quad (3)$$

其中 $\alpha = \sqrt{\mu_0 \sigma_c \omega / 2}$, 利用边界条件:

$$\vec{E}(0) = \vec{E}(d) = \frac{j_0 e^{-i\omega t}}{\sigma_c} \hat{e}_x \quad (4)$$

求解待定常数 E_0 和 E'_0 :

$$\begin{aligned} E_0 &= \frac{j_0}{\sigma_c} \frac{e^{\alpha(1-i)d} - 1}{e^{\alpha(1-i)d} - e^{-\alpha(1-i)d}} \\ E'_0 &= \frac{j_0}{\sigma_c} \frac{1 - e^{-\alpha(1-i)d}}{e^{\alpha(1-i)d} - e^{-\alpha(1-i)d}} \end{aligned} \quad (5)$$

容易求出电流 $\vec{j} = \sigma_c \vec{E}$ 和磁场 \vec{H} 的分布:

$$\vec{H} = \frac{1}{i\omega\mu_0} \nabla \times \vec{E} = \frac{1}{i\omega\mu_0} \hat{e}_y \partial_z E_x = \hat{e}_y \frac{\alpha(1-i)}{i\omega\mu_0} (-E_0 e^{-\alpha(1-i)z} + E'_0 e^{\alpha(1-i)z}) e^{-i\omega t} \quad (6)$$

2 Example 1

如Fig. 1所示,

- (a) 对于任意形状的电回路, 在非远场条件下, 考虑其标量场 φ_m 的分布. (即课件十五讲, 第3页)
- (b) 严格求解束缚在磁介质柱表面上的磁化电流 $\vec{\pi}$, 以及磁介质柱的磁化强度 \vec{M} . 另外,

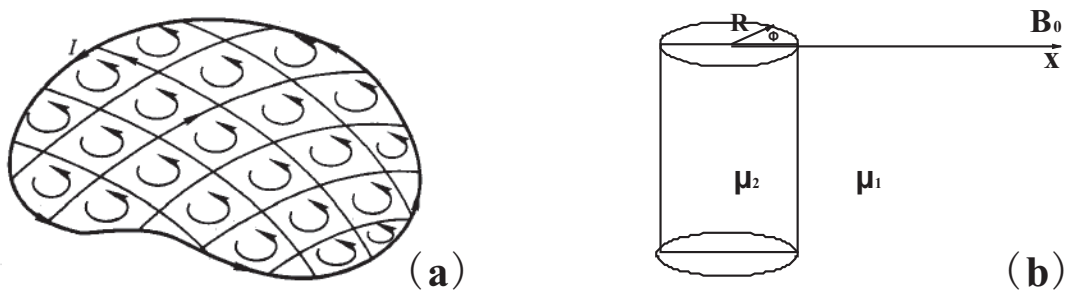


Figure 1: 例一示意图

- 将磁介质柱表面的磁化电流等效成“3维磁偶极子”，计算其在远场 $\vec{r} = \rho(\hat{e}_x \cos \phi + \hat{e}_y \sin \phi)$ 处对矢势 \vec{A} 的贡献。
- 将磁介质柱表面的磁化电流等效成“2维磁偶极子”，计算其在远场 $\vec{r} = \rho(\hat{e}_x \cos \phi + \hat{e}_y \sin \phi)$ 处对矢势 \vec{A} 的贡献。（即课件十三讲，选做题）

解：

(a) 分别应用严格解和等效解两种方法来求解此题。

严格解：对于非远场情况，电流回路不再等效为单个磁偶极子。根据Biot-Savart定律，求解磁感应强度 $\vec{B}(\vec{r})$ 的分布：

$$\begin{aligned}
 \vec{B}(\vec{r}) &= \frac{\mu_0}{4\pi} \oint_{C'} I d\vec{r}' \times \frac{\vec{r} - \vec{r}'}{|\vec{r} - \vec{r}'|^3} \\
 &= \frac{\mu_0}{4\pi} \int_{S'} (I d\vec{S}' \times \nabla') \times \frac{\vec{r} - \vec{r}'}{|\vec{r} - \vec{r}'|^3} \\
 &= \frac{\mu_0 I}{4\pi} \int_{S'} \nabla' \cdot \left(\frac{\vec{r} - \vec{r}'}{|\vec{r} - \vec{r}'|^3} \right) \cdot d\vec{S}' - \nabla' \cdot \left(\frac{\vec{r} - \vec{r}'}{|\vec{r} - \vec{r}'|^3} \right) d\vec{S}' \\
 &= -\frac{\mu_0 I}{4\pi} \nabla \int_{S'} \frac{\vec{r} - \vec{r}'}{|\vec{r} - \vec{r}'|^3} \cdot d\vec{S}' \\
 &= -\frac{\mu_0 I}{4\pi} \nabla \Omega
 \end{aligned} \tag{7}$$

上述推导应用了公式¹：

$$\oint_C d\vec{r} \times \vec{F} = \int_S (d\vec{S} \times \nabla) \times \vec{F} \tag{8}$$

$$\vec{A} \times (\vec{B} \times \vec{C}) = (\vec{A} \cdot \vec{C}) \vec{B} - (\vec{A} \cdot \vec{B}) \vec{C} \tag{9}$$

$$\vec{A} \cdot (\vec{B} \times \vec{C}) = (\vec{A} \times \vec{B}) \cdot \vec{C} \tag{10}$$

Eq. (7)中立体角 Ω 的定义为：

$$\Omega = \int_{S'} d\Omega = \int_{S'} \frac{\vec{r} - \vec{r}'}{|\vec{r} - \vec{r}'|^3} \cdot d\vec{S}' = - \int_{S'} \frac{\vec{r}' - \vec{r}}{|\vec{r}' - \vec{r}|^3} \cdot d\vec{S}' \tag{11}$$

负号是否有违我们平时的直觉？课件曾给出立体角正负号的规定：“按电流的右手法则，决定面法线方向 \hat{e}_n 以后，若观察点在 \hat{e}_n 的正方向，则取 $\Omega > 0$ ，反之 $\Omega < 0$ ”。实际上，正负号来源于两个矢量 $\vec{r} - \vec{r}'$ 和 $d\vec{S}'$ 之间的夹角余弦， $d\vec{S}'$ 的正方向按电流的右手法则给出。

¹提示：可以在等式两边同时乘以任意常矢量 \vec{c} ，即可得证。

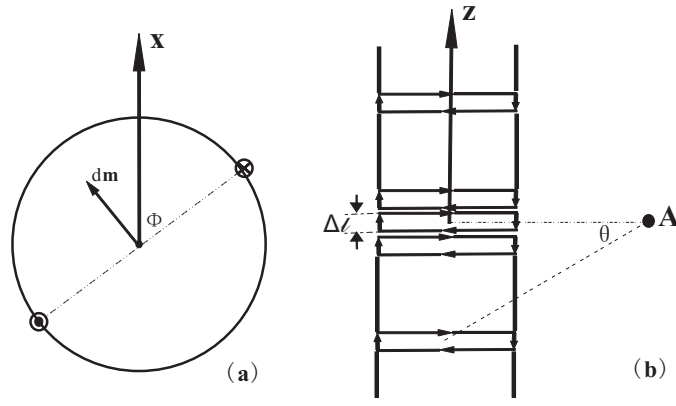


Figure 2: 3维磁偶极子等效原理图

等效解： 在非远场条件下，虽然电流回路不再等效成单个磁偶极子，但是可以把整个电流回路等效成一系列微小电路(磁偶极子)的叠加，如Fig. 1 (a)所示，利用一系列磁偶极子的磁标势叠加，然后求得总磁场 \vec{B} 。(详细过程可参见课件) 两种方法得到的结果是一致的。

$$\varphi_m(\vec{r}) = \frac{1}{4\pi} \sum \frac{\vec{m} \cdot \vec{R}}{R^3} = \frac{1}{4\pi} \int_{S'} I d\vec{S}' \cdot \frac{\vec{r} - \vec{r}'}{|\vec{r} - \vec{r}'|^3} \quad (12)$$

$$\vec{B}(\vec{r}) = -\mu_0 \nabla \varphi_m(\vec{r}) = -\frac{\mu_0 I}{4\pi} \nabla \int_{S'} \frac{\vec{r} - \vec{r}'}{|\vec{r} - \vec{r}'|^3} \cdot d\vec{S}' \quad (13)$$

(b) 在柱坐标中严格求解矢势 A_z 的拉普拉斯方程：

$$\nabla^2 A_z = 0 \quad (14)$$

其解为：

$$A_z^{(1)}(\vec{r}) = C + \frac{\mu_2 - \mu_1}{\mu_2 + \mu_1} B_0 \frac{R^2}{\rho} \sin \phi + A_z^{ext}(\vec{r}) \quad (15)$$

$$A_z^{(2)}(\vec{r}) = C + \frac{\mu_2 - \mu_1}{\mu_2 + \mu_1} B_0 \rho \sin \phi + A_z^{ext}(\vec{r}) \quad (16)$$

其中外场为 $A_z^{ext}(\vec{r}) = B_0 \rho \sin \phi$ ，根据边界条件算出表面的磁化电流 $\vec{\pi}$ ：

$$\begin{aligned} \vec{\pi} &= \frac{1}{\mu_0} \hat{e}_\rho \times \left[\nabla \times (\vec{A}^{(1)} - \vec{A}^{(2)}) \right] \Big|_{\rho=R} \\ &= \frac{1}{\mu_0} \hat{e}_\rho \times (-\hat{e}_\phi \partial_\rho A_z^{(1)} + \hat{e}_\phi \partial_\rho A_z^{(2)}) \Big|_{\rho=R} \\ &= \hat{e}_z \frac{2}{\mu_0} \frac{\mu_2 - \mu_1}{\mu_2 + \mu_1} B_0 \sin \phi \\ &= \hat{e}_z \alpha_0 \sin \phi \end{aligned} \quad (17)$$

其中 $\alpha_0 = \frac{2}{\mu_0} \frac{\mu_2 - \mu_1}{\mu_2 + \mu_1} B_0$ 。由 $\vec{\pi} = \vec{M} \times \hat{e}_\rho$ 可以得到磁介质柱的磁化强度 \vec{M} ：

$$\vec{M} = \alpha_0 \hat{e}_x \quad (18)$$

3维磁偶极子等效法： 对Eq. (17)所示的电流分布 $\vec{\pi}$ ，作如Fig. 2 (a) 等效：那么高度为 Δl 的扁平盒所对应的磁偶极子 $\Delta \vec{m}$ 为：

$$\Delta \vec{m} = \int d\vec{m} = \int_0^\pi \alpha_0 \sin \phi R d\phi \cdot 2R \Delta l (\sin \phi \hat{e}_x - \cos \phi \hat{e}_y) = \alpha_0 \pi R^2 \Delta l \hat{e}_x \quad (19)$$

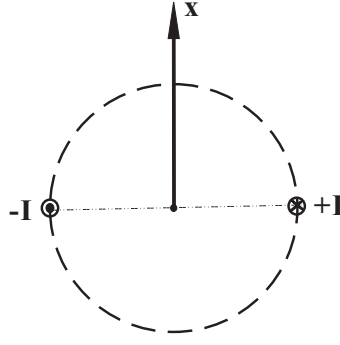


Figure 3: 2维磁偶极子等效原理图

进一步得到磁化强度 \vec{M} :

$$\vec{M} \equiv \frac{\Delta \vec{m}}{V} = \alpha_0 \hat{e}_x \quad (20)$$

如Fig. 2 (b) 所示, 计算3维磁偶极子在远场 $\vec{r} = \rho(\hat{e}_x \cos \phi + \hat{e}_y \sin \phi)$ 位置上对矢势 \vec{A} 的贡献:²

$$\begin{aligned} \vec{A} &= \frac{\mu_0}{4\pi} \int \frac{\Delta \vec{m} \times (\vec{r} + \vec{e}_z \rho \tan \theta)}{|\vec{r} + \vec{e}_z \rho \tan \theta|^3} \\ &= \frac{\mu_0}{4\pi} \frac{1}{\rho} \int_{-\pi/2}^{\pi/2} \alpha_0 \pi R^2 \cos \theta d\theta \hat{e}_x \times (\hat{e}_x \cos \phi + \hat{e}_y \sin \phi + \hat{e}_z \tan \theta) \\ &= \frac{\mu_0}{4\pi} \frac{1}{\rho} \alpha_0 \pi R^2 \hat{e}_z 2 \sin \phi \\ &= \frac{\mu_0 \alpha_0}{2} \frac{R^2}{\rho} \sin \phi \end{aligned} \quad (21)$$

与Eq. (15)的结果一致.

2维磁偶极子等效法: 关于2维磁偶极子的定义, 请参看教材P141习题5.3.等效方法如下:

如Fig. 3 所示, 将整个磁介质柱表面的磁化电流等效成 yz 平面内的两条无穷长直导线, 代替磁化电流对空间磁场的贡献. 则2维磁偶极子产生的矢势 \vec{A} 为:³

$$\begin{aligned} \vec{A} &= -\hat{e}_z \left(\frac{\mu_0 I}{2\pi} \ln \rho_+ - \frac{\mu_0 I}{2\pi} \ln \rho_- \right) \\ &= \hat{e}_z \frac{\mu_0 I}{4\pi} \ln \frac{\rho^2 + R^2 + 2\rho R \sin \phi}{\rho^2 + R^2 - 2\rho R \sin \phi} \\ &\approx \hat{e}_z \frac{\mu_0 I}{4\pi} \ln \left(1 + \frac{4R}{\rho} \sin \phi \right) \\ &= \hat{e}_z \frac{\mu_0 I}{4\pi} \frac{4R}{\rho} \sin \phi \\ &= \frac{\mu_0}{2\pi} \frac{\vec{m}_{2D} \times \hat{e}_\rho}{\rho} \end{aligned} \quad (22)$$

形式上与Eq. (21)相同, 其中,

$$\vec{m}_{2D} = \hat{e}_x I 2R \quad (23)$$

对比严格结果Eq. (15), 得到:

$$\vec{m}_{2D} = \hat{e}_x \frac{2\pi}{\mu_0} \frac{\mu_2 - \mu_1}{\mu_2 + \mu_1} B_0 R^2 \quad (24)$$

²取 $\Delta l = dz$, 对每一个位于 $-\vec{e}_z \rho \tan \theta$ 的磁偶极子对 \vec{A} 的贡献求和.

³通有直流电的无限长导线在空间中激发的矢势 $\vec{A}(x, y) = -\hat{e}_z \frac{\mu_0 I}{2\pi} \ln \rho$.

进一步计算磁化强度 \vec{M} 为:

$$\vec{M} \equiv \frac{\vec{m}_{2D}}{S} = \hat{e}_x \frac{2}{\mu_0} \frac{\mu_2 - \mu_1}{\mu_2 + \mu_1} B_0 \quad (25)$$

Eq. (21)和Eq. (25)得到的结果是一致的, 即这两种等效方法等价.

讨论:

- 在横向外场 $\vec{B}^{ext} \parallel \hat{e}_x$ 的条件下, 无穷长柱的退极化因子是多少? 提示:

$$\vec{B}^{(2)} = \nabla \times \vec{A}^{(2)} = \hat{e}_x \frac{\mu_2 - \mu_1}{\mu_2 + \mu_1} B_0 + \vec{B}^{ext} = \frac{\mu_0}{2} \vec{M} + \vec{B}^{ext} \quad (26)$$

在纵向外场 $\vec{B}^{ext} \parallel \hat{e}_z$ 的条件下, 无穷长柱的退极化因子又是多少?

- 对比Eq. (26)和电介质球的退极化电场:

$$\vec{E}^{(2)} = -\frac{1}{3\epsilon_0} \vec{P} + \vec{E}^{ext} \quad (27)$$

发现退极化场的符号一正一负, 为什么?

- 两种等效磁偶极子实际上是参考了严格解的结果, 如果我们不知道严格解, 该怎样用等效解法? (提示: 我们现在将表面的磁化电流等效成磁偶极子. 除了一个待定系数, 等效磁偶极子在远场对矢势 \vec{A} 的贡献与严格解形式是一致的.)
- 这两道题都是关于磁场等效解法的, 对比以前的电场等效解法, 有什么相同和不同之处?

3 Example 2

无限大平面上下分别充满磁导率为 μ_1 和 μ_2 的各向同性均匀线性介质, 在 μ_1 区距离界面为 a 的地方有一无限长且平行于界面的导线, 通有电流为 I . 应用磁像法, 求解空间中磁场 \vec{H} 的分布.

解:

建立坐标系, 设介质分界面为 xy 平面, 导线平行于 x 轴位于 xz 平面中, 体系在 x 方向是平移不变的, 只需考虑 yz 平面即可. 类比电像法, 假设:

(1) 对于 $z > 0$ 区, 磁场 \vec{H}_1 等效为原导线 I ; $(x, 0, a)$ 和像导线 I' ; $(x, 0, -a)$ 的叠加.

(2) 对于 $z < 0$ 区, 磁场 \vec{H}_2 等效为像导线 I'' ; $(x, 0, a)$ 的贡献.

则空间中磁场 \vec{H} 的分布为:

$$\begin{aligned} \vec{H}_1 &= \frac{I}{2\pi r_1} \hat{e}_x \times \hat{r}_1 + \frac{I'}{2\pi r_2} \hat{e}_x \times \hat{r}_2 \quad z > 0 \quad \text{or} \quad 0 \leq \theta \leq \frac{\pi}{2} \\ \vec{H}_2 &= \frac{I''}{2\pi r_1} \hat{e}_x \times \hat{r}_1 \quad z < 0 \quad \text{or} \quad \frac{\pi}{2} \leq \theta \leq \pi \end{aligned} \quad (28)$$

其中,

$$\begin{aligned} \vec{r}_1 &= \hat{e}_y r \sin \theta + \hat{e}_z (r \cos \theta - a) \\ \vec{r}_2 &= \hat{e}_y r \sin \theta + \hat{e}_z (r \cos \theta + a) \end{aligned} \quad (29)$$

r 为场点 $(0, y, z)$ 到坐标系原点的距离, θ 为 \vec{r} 跟 z 轴的夹角. 边界条件: (取 $z = 0$, 或者 $\theta = \frac{\pi}{2}$)

$$\begin{aligned} \hat{e}_z \times (\vec{H}_1 - \vec{H}_2) \Big|_{z=0} &= 0 \\ \hat{e}_z \cdot (\vec{B}_1 - \vec{B}_2) \Big|_{z=0} &= 0 \end{aligned} \quad (30)$$

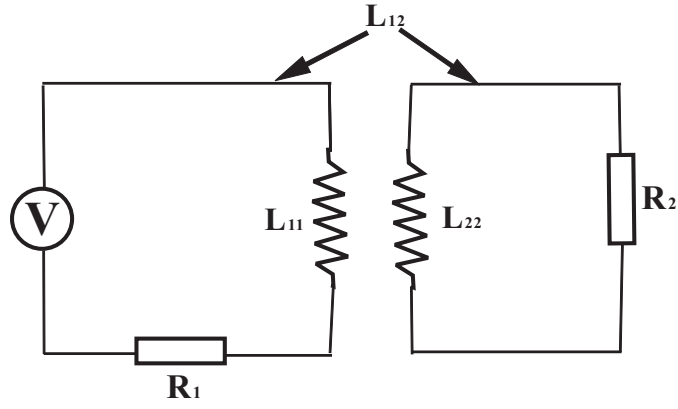


Figure 4: 例三示意图

将Eq. (28)代入Eq. (30), 得到:

$$\begin{aligned} I - I' &= I'' \\ \mu_1 (I + I') &= \mu_2 I'' \end{aligned} \quad (31)$$

解得:

$$\begin{aligned} I' &= \frac{\mu_2 - \mu_1}{\mu_2 + \mu_1} I \\ I'' &= \frac{2\mu_1}{\mu_1 + \mu_2} I \end{aligned} \quad (32)$$

讨论:

- 讨论 I, I' 和 I'' 方向的关系.
- 若界面为PMC($\mu_2 \rightarrow \infty$)和真空($\mu_1 = \mu_0$)的交界面, 求出此时的像电流, 以及相应的磁场强度 \vec{H} 和磁感应强度 \vec{B} . 并与电像法比较.

$$I' = I \quad I'' = 0 \quad (33)$$

- 综合Example 1和Example 2, 电介质与磁介质之间有什么异同?

4 Example 3

在准静态近似下, 考虑下面的问题:

- 类比电容系数 C_{ij} , 引入电感系数 L_{ij} , 证明 $L_{ij} = L_{ji}$, 并写出 RL 电路中电流所满足的方程.
- 如Fig. 4 所示, 电源为 $V_0 e^{-i\omega t}$, 求这两个电路中电流的稳定解.

解:

- 考虑空间有 n 个电流回路, 在准静态近似下, 第 k 个回路满足:

$$R_k I_k = V_k - \frac{d\Phi_k}{dt} \quad (34)$$

其中 Φ_k 表示第 k 个回路的总磁通量, 可以由第 k 个回路本身的磁场带来, 也可以通过别的回路在第 k 个回路处产生的磁场带来. 因此类比电容系数, 定义电感系数:

$$\Phi \equiv \sum_i L_{ki} I_i = L_{ki} I_i \quad (35)$$

L_{ii} 称为自感系数, $L_{ij}(i \neq j)$ 称为互感系数, 可以证明 $L_{ij} = L_{ji}$:

$$\Phi_{21} = L_{21}I_1 = \int_{S_2} \vec{B}_1(\vec{r}_2) \cdot d\vec{S}_2 = \int_{S_2} [\nabla \times \vec{A}_1(\vec{r}_2)] \cdot d\vec{S}_2 = \oint_{\partial S_2} \vec{A}_1(\vec{r}_2) \cdot d\vec{r}_2 \quad (36)$$

已知 $\vec{A}_1(\vec{r}_2) = \frac{\mu_0}{4\pi} \int_{\Omega_1} \frac{\vec{j}(\vec{r}_1)d^3\tau_1}{|\vec{r}_2 - \vec{r}_1|} = \frac{\mu_0}{4\pi} \oint_{\partial S_1} \frac{I_1 d\vec{r}_1}{|\vec{r}_2 - \vec{r}_1|}$, 代入Eq. (36), 得到:

$$\Phi_{21} = \frac{\mu_0 I_1}{4\pi} \oint_{\partial S_1} \oint_{\partial S_2} \frac{d\vec{r}_1 \cdot d\vec{r}_2}{|\vec{r}_1 - \vec{r}_2|} \quad (37)$$

即:

$$L_{21} = \frac{\mu_0}{4\pi} \oint_{\partial S_1} \oint_{\partial S_2} \frac{d\vec{r}_1 \cdot d\vec{r}_2}{|\vec{r}_1 - \vec{r}_2|} = L_{12} \quad (38)$$

请将 $L_{ij} = L_{ji}$ 推广到多个线圈的情况. 将Eq. (35)代入Eq. (34)得到:

$$R_k I_k + L_{ki} \dot{I}_i = V_k \quad (39)$$

Eq. (39)是电工学中的基本方程.

(b) 根据Eq. (39):

$$\begin{aligned} R_1 I_1 + L_{11} \dot{I}_1 + L_{12} \dot{I}_2 &= V_0 e^{-i\omega t} \\ R_2 I_2 + L_{21} \dot{I}_1 + L_{22} \dot{I}_2 &= 0 \end{aligned} \quad (40)$$

设稳态解为:

$$I_1 = i_1 e^{-i\omega t} \quad I_2 = i_2 e^{-i\omega t} \quad (41)$$

将Eq. (41)代入Eq. (40)得到:

$$\begin{aligned} (R_1 - i\omega L_{11}) i_1 - i\omega L_{12} i_2 &= V_0 \\ -i\omega L_{21} i_1 + (R_2 - i\omega L_{22}) i_2 &= 0 \end{aligned} \quad (42)$$

并解得:

$$i_1 = \frac{Z_2}{Z_1 Z_2 - t^2} V_0 \quad i_2 = -\frac{t}{Z_1 Z_2 - t^2} V_0 \quad (43)$$

其中 $Z_1 = R_1 - i\omega L_{11}$, $Z_2 = R_2 - i\omega L_{22}$, $t = -i\omega L_{12} = -i\omega L_{21}$. 进一步,

$$\frac{i_2}{i_1} = -\frac{t}{Z_2} = \frac{i\omega L_{12}}{R_2 - i\omega L_{22}} = \frac{i\omega L_{12} R_2 - \omega^2 L_{12} L_{22}}{R_2^2 + \omega^2 L_{22}^2} \quad (44)$$

即:

$$\begin{aligned} \left| \frac{i_2}{i_1} \right| &= \frac{\omega L_{12}}{\sqrt{R_2^2 + \omega^2 L_{22}^2}} \\ \arg \left(\frac{i_2}{i_1} \right) &= -\tan^{-1} \frac{R_2}{\omega L_{22}} \end{aligned} \quad (45)$$

显然, 两电路的耦合越大, 即 L_{12} 越大, 电路2中的电流越大.

讨论:

- 为什么说Eq. (34)是准静态近似下成立的? 提示:

$$\sigma_c = \frac{ne^2}{m(\gamma - i\omega)} \quad (46)$$

- 考虑Eq. (44)的几种极限情况, 并讨论之.